

## Disperzní systémy

1/30  
AB24

jsou složené ze dvou (i více) fází (a také roztoky polymerů). Zpravidla **dispergovaná fáze** ve **spojité fázi**. Obvykle s/l, l/l, ...



Rozdělení podle velikosti částic:

- hrubé disperzní (heterogenní),  $> 1\mu\text{m}$
- koloidní  $1\mu\text{m} - 1\text{ nm}$  (nepravé roztoky)
  - heterogenní (micely, srázeniny, ...), nanočástice
  - homogenní (roztoky makromolekul)
- analytické (homogenní) (pravé roztoky)

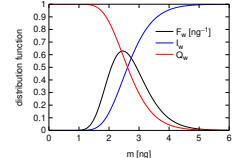
Příklady: roztoky polymerů, asfalt, škrob, čerstvá srázenina, mléko, ...

show/fraktaly.sh 6/30  
AB24

## Rozdělovací funkce

**Hmotnostní diferenciální rozdělovací funkce**  $F_w(m)$ : podíl (pravděpodobnost = počet / celkový počet) částic s hmotností v intervalu  $(m, m + dm)$  je  $F_w(m)dm$ .

$$\text{normalizace: } \int_0^\infty F_w(m)dm = 1$$



**Integrální rozdělovací funkce:** podíl částic s hmotností  $< m$ :

$$I_w(m) = \int_0^m F_w(m')dm', \quad Q_w(m) = \int_m^\infty F_w(m')dm' = 1 - I_w(m) \text{ doplňková}$$

Obdobně rozdělovací funkce velikosti částic ...

● Monodisperzní systém – částice stejné velikosti (špičaté rozdělení); někdy i krytalizují (vírus tabákové mozaiky – 2D)

Koule: fcc 74%, náhodné těsné uspořádání (*random close packing*) 64%

● Polydisperzní systém: např. asfaltová směs na silnici (příklad náhodného fraktalu), **zkus odhadnout podíl minerálního plniva!**

Frakce = skupiny částic (přibližně) stejné velikosti (získáme filtraci)

## Vlastnosti disperzí

2/30  
AB24

- Vzhled: hrubé – mléčné zakalené až nepruhledné (turbidita) velikost  $\gg \lambda$ : bílá/šedá (pro nebarevné částice)
- velikost  $\approx \lambda$ : Tyndallův jev, vše se rozptyluje modrá
- velikost  $\ll \lambda$ : Rayleighův rozptyl světla (modrá obloha, červánky) pozn.: pružný (elastický) rozptyl, energie fotonu se nemění
- Kolagativní vlastnosti – měřitelné jen u jemných disperzí
- Brownův pohyb; difuzivita klesá s rostoucí hrubostí ( $D = k_B T / 6\pi\eta R$ )
- Viskoza – větší než u spojité fáze, často ne-Newtonovské chování
  - deformeji se/teče po překonání meze (plastický materiál)
  - při zvětšování (smykového) napětí se viskoza:
    - snižuje (pseudoplastický materiál) (*shear-thinning*)
    - zvyšuje (dilatantní materiál\*) (*shear-thickening*): voda + škrob →
- Hustota – mezi oběma fázemi
- Povrchové napětí – často klesá \*poněkud odlišná je dilatace granulárního materiálu = změna objemu po aplikaci napětí, např. vlnky písek na pláži vypadají sušší po šlápnutí



## Disperzní systémy – klasifikace

3/30  
AB24

	dispergovaná látka			
	(s)	(l)	(g)	
(s)	tuhý sol tuhá směs (lyo)sol suspenze aerosol kouř, prach	tuhá emulze emulze aerosol mlha	tuhá pěna pěna	
(l)				
(g)				

koloidy ( $< 1\mu\text{m}$ )  
hrubé disperze ( $> 1\mu\text{m}$ )

## Tvar častic:

- globulární (koule), izometrické částice ( $r_x \approx r_y \approx r_z$ )
- laminární (placky), anizometrické částice ( $r_x \approx r_y \gg r_z$ )
- fibrilární (vlákna), anizometrické částice ( $r_x \gg r_y \approx r_z$ )

## Disperzní systémy – klasifikace

4/30  
AB24

### Interakce:

- lyofilní disperze (částice smáčí disperzní prostředí) ve vodě: hydrofilní
- lyofobní disperze (částice nesmáčí disperzní prostředí) ve vodě: hydrofobní
- volné – částice daleko od sebe, neinteragují
- vázané – částice interagují („slepí se“) (gel)

## Příprava disperzí

5/30  
AB24

- polymerace
- přesycení roztoku (např. ouzo), podchlazení (metastabilní stav), příp. spinodální dekompozice (nestabilní)
- vznik micel přesycením roztoku surfaktantu nad kritickou micelární koncentrací (CMC)
- mechanicky z větších častic (mletí, ultrazvuk)
- elektricky (oblouk, katodické rozprašování)
- srážecí aj. reakce – produkt je neropustný (např. AgBr při přípravě fotografických „emulzí“), často následováno peptizací.

Mikrokryštálky srázeniny bývají slepeny, protože v koncentrovaném roztoku je elektrická dvojvrstva přilis tenká a nestabilizuje koloid (viz teorie DLVO), po vymytí iontů může dojít k oddělení krystalků – peptizaci.

Agregace slabými silami:

volné disperzní částice  $\xrightarrow{\text{flokulace}}$  slabě vázané agregáty  
 $\xrightarrow{\text{peptizace}}$

7/30  
AB24

## Sedimentace

**Sedimentace** (usazování) je pohyb a ukládání částic v tekutině ve směru působící vnější síly  $\vec{F} = -\nabla U$ , kde  $U$  je potenciál síly.

Asfaltová směs:  
95 % minerálního plniva,  
5 % živice;  
u litého 93 % a 7 %

**Druhy síl:** tónová (gravitační), odstředivá (centrifugální), elektrostatická, obecněji elektromagnetická

**Tónová síla** (zrychlení =  $-g$ ) a její potenciál:

$$F = -\Delta mg \Rightarrow U(h) = -\int_0^h F dh' = \int_0^h \Delta mg dh' = \Delta mgh$$

**Síla v odstředivce (centrifuze)** a její potenciál:

$$F = \Delta ma = \Delta mR\omega^2 \Rightarrow U(R) = -\int_0^R F dR' = -\int_0^R \Delta mR'\omega^2 dR' = -\frac{1}{2}\Delta m(R\omega)^2$$

$\omega = da/dt = 2\pi\nu = 2\pi/t_0$  = úhlová (kruhová) rychlosť (frekvence)

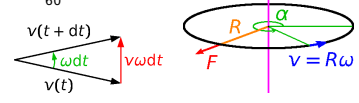
$\nu = 1/t_0$  = frekvence (Hz nebo RPM, 1 RPM = 1/min =  $\frac{1}{60}$  Hz)

$t_0$  = perioda jedné otáčky

$R$  = poloměr otáčení

$v = R\omega$  = rychlosť

$a$  = zrychlení:  $a = \frac{|v(t+dt) - v(t)|}{dt} = v\omega = R\omega^2$



## Rychlosť sedimentace

8/30  
AB24

Hustota častic =  $\rho_1$

Hustota disperzního prostředí =  $\rho$

Viskoza disperzního prostředí =  $\eta$

Objem častic =  $V_1$

Koefficient tření =  $f$

Rychlosť sedimentace =  $v$



„Sedimentační koeficient“  $s = v/g$  má rozdíl času, někdy se vyjadřuje v jednotce svedberg, 1 S nebo  $Sv = 10^{-13}$  s – podle vynálezce ultracentrifuge a nositele Nobelovy ceny Theodora Svedberga (1884–1971).

**V poli tří:**

Síla (vč. vztahu podle Archimedova zákona) (formálně s opačným znaménkem)

$$F = \Delta mg = V_1(\rho_1 - \rho)g, \quad v = \frac{F}{f} = \frac{V_1(\rho_1 - \rho)g}{f}$$

Kulové častic:  $V_1 = \frac{4}{3}\pi r^3$ ,  $f = 6\pi\eta r$  (Stokes)

$$v = \frac{2r^2}{9\eta}(\rho_1 - \rho)g$$

**V centrifuze:** místo  $g$  použijeme  $R\omega^2$  (typicky 1000g – 10 000g, ultracentrifuga až  $10^6$ g)



Malé částice sedimentují pomalu.

Molekuly taky sedimentují (velmi pomalu): obohacování uranu centrifugací  $UF_6(g)$ .

9/30  
AB24

## Sedimentační rovnováha

### Z Boltzmannovy pravděpodobnosti

Ideální roztok: koncentrace  $\propto$  Boltzmannova pravděpodobnost  $\Rightarrow$

$$c(r) = c_0 \exp\left(-\frac{U(r)}{k_B T}\right)$$

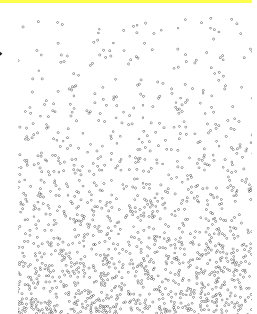
V tónovém poli je to barometrická rovnice:

$$c(h) = c(0) \exp\left(-\frac{\Delta m gh}{k_B T}\right)$$

V centrifuze o úhlové frekvenci  $\omega = 2\pi\nu$  ( $\nu$  = frekvence):

$$c(R) = c(0) \exp\left(-\frac{\frac{1}{2}\Delta m(R\omega)^2}{k_B T}\right)$$

kde  $\Delta m = V_1(\rho_1 - \rho)$



## Sedimentační rovnováha

10/30  
AB24

### Z rychlosťí sedimentace a difuze

$$v_{\text{sedimentace}} = \frac{F}{f} = -\frac{\nabla U}{f}$$

$$v_{\text{difuze}} = \frac{J}{c} = -\frac{D \nabla c}{c} = -D \nabla \ln c = -\frac{k_B T}{f} \nabla \ln c$$

$$v_{\text{sedimentace}} + v_{\text{difuze}} = 0 = -\frac{\nabla U}{f} - \frac{k_B T}{f} \nabla \ln c \Rightarrow c = c_0 \exp\left(-\frac{U}{k_B T}\right)$$

Nechť  $\mu$  je na 1 částici (ne mol). Aproximace nekonečného zředění:

$$\mu = \mu_0 + k_B T \ln(c/c^{\text{st}}) \Rightarrow v_{\text{difuze}} = -\frac{1}{f} \nabla \mu$$

Pak

$$v_{\text{sedimentace}} + v_{\text{difuze}} = 0 = -\frac{\nabla U}{f} - \frac{1}{f} \nabla \mu$$

je ekvivalentní vztahu

$$U + \mu = \text{const}$$

Před časem jsme naopak **předpokládali**, že  $U + \mu = \text{const}$ , a z toho **odvodili** Einsteinovo-Smoluchowského rovnici  $D = k_B T/f$ .

## Příklad

11/30  
AB24

Rovnovážná koncentrace monodispersních olejových kapiček (stabilizovaných aniontovým surfaktantem) v květě 10 cm vysoké je dvojnásobná u povrchu než u dna. Vypočteče průměr kapiček. Teplota je 25 °C, hustota vody je 0,997 g cm<sup>-3</sup>, hustota oleje je 0,920 g cm<sup>-3</sup>.

$$c(h) = c(0) \exp\left(\frac{-\Delta m gh}{k_B T}\right)$$

$$\Rightarrow \Delta m = -\ln \frac{c(h)}{c(0)} \times \frac{k_B T}{gh} = -\ln 2 \times \frac{1.381 \times 10^{-23} \text{ J K}^{-1} \times 298 \text{ K}}{9.81 \text{ m s}^{-2} \times 0.1 \text{ m}} = -2.91 \times 10^{-21} \text{ kg}$$

$$\Delta m = \frac{4\pi}{3} r^3 \Delta \rho = \frac{\pi}{6} d^3 \Delta \rho$$

$$\Delta \rho = 920 \text{ kg m}^{-3} - 997 \text{ kg m}^{-3} = -77 \text{ kg m}^{-3}$$

$$\Rightarrow d = \sqrt[3]{\frac{6\Delta m}{\pi \Delta \rho}} = \sqrt[3]{\frac{6 \times (-2.91 \times 10^{-21} \text{ kg})}{\pi \times (-77 \text{ kg m}^{-3})}} = 4.16 \times 10^{-8} \text{ m} \doteq 42 \text{ nm}$$

## Příklad

xcat centrifuge.evu 12/30  
AB24

Globulární protein má hmotnost 120 kDa. Jaká je rychlosť sedimentace v centrifuze o rotující rychlosť 24 000 RPM v bodě  $R = 5 \text{ cm}$  od osy rotace? Hustota proteinu je  $1.35 \text{ g cm}^{-3}$ , viskozita vody je  $0.891 \text{ mPas}$ , hustota vody  $0.997 \text{ g cm}^{-3}$ . Zabráni difuze sedimentaci za teploty 25 °C?

$$\omega = 2\pi \cdot \frac{24000}{\text{min}} = 2\pi \cdot \frac{24000}{60 \text{ s}} = 2\pi \cdot 400 \text{ s}^{-1} = 2513 \text{ s}^{-1} \quad v = \frac{2r^2}{9\eta} (\rho_{\text{protein}} - \rho_{\text{voda}}) a$$

$$a = \omega^2 R = 315827 \text{ m s}^{-2}$$

$$V_1 = \frac{M}{N_A \rho_{\text{protein}}} = \frac{120 \text{ kg mol}^{-1}}{6.022 \times 10^{23} \text{ mol}^{-1} \cdot 1.350 \text{ kg m}^{-3}}$$

$$= \frac{120 \text{ kg mol}^{-1}}{9.0891 \times 10^{-3} \text{ Pas}} = 3.278 \times 10^{-9} \text{ m}^2$$

$$= \frac{2 \cdot (3.278 \times 10^{-9} \text{ m}^2)}{9 \cdot 0.891 \times 10^{-3} \text{ Pas}} \cdot 353 \text{ kg m}^{-3} \cdot 315827 \text{ m s}^{-2}$$

$$= 2.99 \times 10^{-7} \text{ m s}^{-1} = 1.08 \text{ mm h}^{-1}$$

Tloušťka, ve které klesne koncentrace na 1/e:

$$= 1.476 \times 10^{-25} \text{ m}^3$$

$$r = \sqrt[3]{\frac{3V_1}{4\pi}} = 3.278 \times 10^{-9} \text{ m}$$

$$h = \frac{k_B T}{\Delta \rho V_1 a} = \frac{1.381 \times 10^{-23} \text{ J K}^{-1} \cdot 298 \text{ K}}{353 \text{ kg m}^{-3} \cdot 1.476 \times 10^{-25} \text{ m}^3 \cdot 315827 \text{ m s}^{-2}}$$

$$= 0.25 \text{ mm} \ll R \Rightarrow \text{lze očekávat dobrou sedimentaci}$$

$$\Delta \rho = 1350 \text{ kg m}^{-3} - 997 \text{ kg m}^{-3} = 353 \text{ kg m}^{-3}$$

## Stabilita disperzí

13/30  
AB24

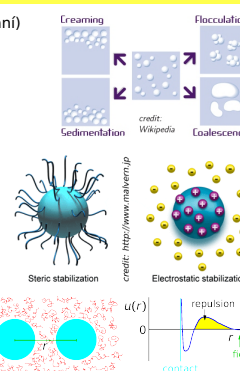
Disperze jsou termodynamicky metastabilní (velká plocha rozhraní)

### Zánik disperze:

- flokulace (vrtně), koagulace (nevratně) } přitažlivé síly
- koalescence (splývání kapek) } částice-částice
- sedimentace (usazování), creaming (vzplývání)
- Ostwaldovo zrání (podle Kelvinovy rovnice)

### Stabilizace:

- ve vzduchu: elektrickým nábojem } odpudivé síly
- v roztoku: elektrickou dvojvrstvou } částice-částice
- sterická (adsorpce makromolekul v dobrém rozpouštěidle)
- depletion (počestné deplete) – makromolekuly mezi
- elektrosterická
- kinetická (ve viskózním prostředí)



## DLVO teorie

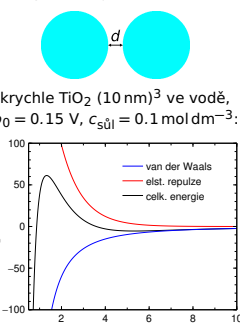
14/30  
AB24

Dérjagin (Дерягин, Derjaguin, Deryagin) + Landau (Ландау), Verwey (Verweij) + Overbeek.

- disperzní síly jsou přitažlivé
  - atom-atom  $\propto 1/r^6$
  - po vyintegrování přes všechny atomy  $\propto 1/d$  (pro malé  $d$ )
  - platí i pro částice v prostředí (po odečtení prostředí)
- stejně náboje se odpuzují
  - ve vzduchu jako  $\propto 1/r$
  - v roztoku s ionty jako  $\propto e^{-d/\lambda}$

### Stabilita

- je daná poměrem obou sil, které mají různý průběh:
- disperzní síly koloid destabilizují
  - povrchový náboj koloid stabilizuje
  - bariéra  $> 25 \text{ kT}$   $\Rightarrow$  stabilita ( $e^{-E/k_B T} = e^{-25} \approx 10^{-11}$ )
  - více solí v roztoku koloid destabilizuje (zkrátí se  $\lambda$ )
  - pro typický čas nestability se uvažuje Brownův pohyb a typická vzdálenost mezi částicemi



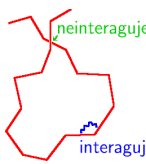
## Roztoky polymerů

15/30  
AB24

Model **ideálního řetězce**:

- článci řetězce spojeny ohebně (vazby, úhly, torze)
- článci dostatečně daleko od sebe již neinteragují (rozumí se efektivní interakce zprostředkována rozpouštědlem)
  - = náhodná procházka (s protínáním) = trajektorie Brownova pohybu

Brownův pohyb:  $(r^2) = 6D\tau$ , čas  $\tau$  odpovídá počtu článců  $N$   
 $\Rightarrow$  velikost klubka  $\propto N^{1/2}$

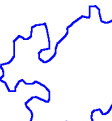


### Lepší modely:

- odpudivé síly  $\rightarrow$  vyloučený objem (článci se nepřekrývají)
- přitažlivé síly  $\rightarrow$  „záporný vyloučený objem“ (článci se na sebe lepí)

## Roztoky polymerů II

16/30  
AB24



**Dobré rozpouštědlo** – lyofilní polymer, článci se (efektivně) odpuzují, řetězec se poněkud rozplete = náhodná procházka bez protinání.

Velikost klubka  $\propto N^{1/1.7}$



**Entropická (sterická) repulze** – klubka v dobrém rozpouštěidle se odpuzuje z důvodu vyloučeného objemu



**Theta-rozpouštědlo** – přitažlivé a odpudivé interakce se vyrovnaní (článci řetězce interagují s rozpouštědlem stejně jako navzájem)  $\approx$  ideální řetězec.

Velikost klubka  $\propto N^{1/2}$



**Spatné rozpouštědlo** – lyofobní polymer, článci se (efektivně) přitahují, řetězec se sbalí do malého objemu (s určitým podílem rozpouštědla mezi).

Velikost klubka  $\propto N^{1/3}$



**Nerozpouštědlo** (nonsolvent) – žádné rozpouštědlo mezi řetězci.

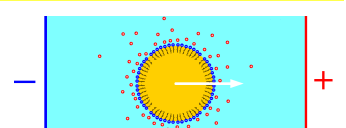
Velikost klubka  $\propto N^{1/3}$ .

## Elektrokinetické jevy

17/30  
AB24



ionty v roztoku v elektrickém poli  
migrace iontů, elektrická vodivost



nabitá koloidní částice v elektrickém poli  
elektroforéza



iontový roztok v kapiláře s povrchovým nábojem  
elektroosmóza

## Elektrokinetické jevy

start show/hgheart.mov 18/30  
AB24



- elektroosmóza – pohyb iontového roztoku pórzním materiálem pod vlivem elektrického napětí projevy: elektroosmotický tok / elektroosmotický tlak (elevace)
- opačně: elektrický proud a potenciál proudění – vznik proudu/napětí při proudění (streaming potential/current)
- elektroforéza – pohyb koloidu v iontovém roztoku
- opačně: sedimentační potenciál či proud

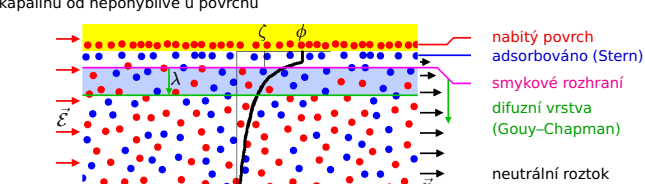
Nesměšuje s elektrokapilárním jevem  
(změna povrchového napětí např. rtuti při změně potenciálu)  
video, obrázek: jchemed.chem.wisc.edu



## Elektroosmóza

19/30  
AB24

**smykové rozhraní** (pohybové rozhraní, shear plane, slipping plane) = plocha dělící pohybující se kapalinu od nepohyblivé u povrchu



Povrchový náboj =  $\sigma$ , intenzita el. pole =  $\mathcal{E}$  (rovnoběžně), viskozita =  $\eta$

Tečná el. síla na jednotku plochy:  $\sigma v = \eta \frac{v}{\lambda} \Rightarrow$  rychlosť  $v = \frac{\sigma \mathcal{E} \lambda}{\eta}$

Kapacita dvojvrstvy (na jednotku plochy)  $C/A = \epsilon/\lambda$  potenciál na snykovém rozhraní =  $\zeta = \frac{C}{A} \zeta = \frac{\epsilon}{\lambda} \zeta \Rightarrow v = \frac{\epsilon \mathcal{E}}{\eta} \zeta$  **zeta-potenciál** = elektrokinetický potenciál

## Elektroosmóza

20/30  
AB24

Smoluchowského (též Helmholtzova-Smoluchowského) rovnice:

$$v = \frac{\epsilon \zeta \mathcal{E}}{\eta} \quad (1)$$

Elektrický proud plochou průřezu  $A_\theta: I = A_\theta \mathcal{E} \kappa = A_\theta \frac{U}{L} \kappa$  ( $\kappa$  = konduktivita roztoku)

Objemový průtok:  $\frac{dv}{dt} = v A_\theta$

$$\frac{dv}{dt} = \frac{\epsilon \zeta}{\eta \kappa} I \quad (2)$$

Rov. (1) platí s koeficientem  $\frac{2}{3}$  i pro **elektroforézu** kulovitých částic, jestliže jsou-li částice dost velké a daleko od sebe ( $\gg \lambda$ ). Pro malé částice přechází v iontovou vodivost,  $v \propto 1/\lambda$ .

Rov. (1) a (2) se používají k měření  $\zeta$

Stabilita koloidu vyžaduje  $|\zeta|$  aspoň zhruba 40 mV.

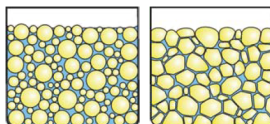
**Izoelektrický bod**: taková koncentrace iontů/pH, že  $\zeta = 0$  ( $\approx$  částice není nabité) – typické pro polyelektrolyty (např. proteiny, které obsahují jak -NH<sub>2</sub>, tak -COOH). Nejmenší odpuzování – nejlépe se svinuje.

## Emulze

21/30  
AB24

Typy:

- O/W (oil-in-water), přímá emulze:  
méně polární (olej) v polárnější kapalině (voda)
- V/O (water-in-oil), obrácená emulze



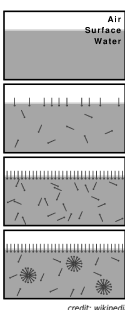
Určení typu – většina vlastností dána disperzním prostředím (el. vodivost, smáčení, rozpouštění barviv)

Koncentrované a vysoce koncentrované emulze nutno stabilizovat **emulgátorem** – povrchově aktivní látku, např. lecitin (phosphatidylcholine)

Zánik:

- flokulace (vznik agregátů – elst.)
- koalescence (splývání kapek)
- sedimentace (šeňačka – creaming)

## Micely

22/30  
AB24

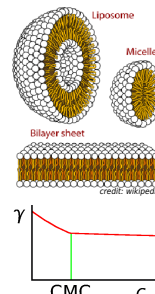
**Micela** = obvykle kulovitý útvar tvořený surftaktantem a stabilizovaný:

- lyofilní interakci (s rozpouštěním)
- lyofobní interakci (vnitřek micely)

**Vznik:** roztok → mikroagregace  $\xrightarrow{CMC}$  micela → válcovité či laminární micely, kapalné krystaly ap.

**Kritická micelární koncentrace (CMC)** = počátek vzniku micel („víc se jich na povrch nevejdou“, zlom na křivce  $\gamma$  vs.  $c$ , zlom je trochu zakulacený – CMC není fázový přechod)

**Obrácená** (inverzní) micela (máslo)



**Solubilizace** – schopnost micel absorbovat lyofobní látky

**Detergence** – praní, surftaktanty solubilizují hydrofobní špinu na povrchu

## Vsuvka: klasifikace fázových přechodů

pic/klas.sh  
+ 23/30  
AB24

- 1. řádu (*first-order*), též 1. druhu: nespojitá 1. derivace  $G, F$  aj., tj. skok v entalpii, hustotě aj.; příklady: krystalizace, tání, var, sublimace
- (Ehrenfest)  $n$ -tého řádu: nespojitá  $n$ -tá derivace  $G, F \rightarrow \dots \rightarrow$
- spojité (*continuous*), též 2. řádu:
  - divergence 2. derivace: kritický bod kapalina-pára, Curieův bod lambda-přechod He, některé tekuté krystaly perkolace
  - všechny derivace spojité (Berezinskii-Kosterlitz-Thouless, Nobelova cena 2016):  
např.:  $f(x) = \begin{cases} e^{-1/x} & \text{pro } x > 0 \\ 0 & \text{pro } x \leq 0 \end{cases}$  : XY model, 2D s +/- excitacemi

Zesknění (glass transition) = viskozita  $> 10^{12}$  Pa s, **není fázový přechod**.

Vznik micel (v kritické micelární koncentraci, CMC) **není fázový přechod**.

Krystalizace micel (do laminární/fibrilární fáze) **je fázový přechod 1. druhu**.

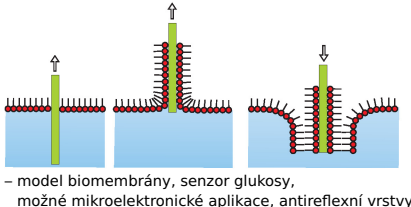
**S jistotou nevíme**, jakému typu je krystalizace tuhých disků (asi 1. druhu).

## Dvojvrstva

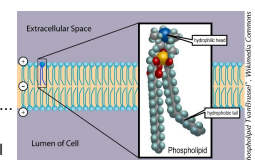
24/30  
AB24

Dvě vrstvy surfaktantu; buněčná membrána = fosfolipidická dvojvrstva („slepěná“ hydrofobními konci), obv. 2D kapalina **vesikel** (angl. vesicle, č-s i vesikula, vezíkl, vezíkula); z dvojvrstvy, obsahuje kapalinu uvnitř lysosom (lyzozom), angl. lysosome; vakuola, transportní vesikla... umělý liposom (lipozom): cílený transport léku

**filmy Langmuira a Blodgettové:** více vrstvě, obv. 2D krystal



- model biomembrány, senzor glukosy, možné mikroelektronické aplikace, antireflexní vrstvy



AB24

## Gely

25/30  
AB24

Souvislá (perkolovaná) 3D síť dispergované složky (i prostředí), v klidu netečou

Obecně **hygel**, ve vodě **hydrogel**, vyschlý **xerogel** (malý podíl vzdachu)

reverzibilní (vratný) gel  $\xrightleftharpoons{\text{sušení}} \text{xerogel}$  bobtnání

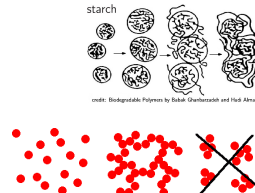
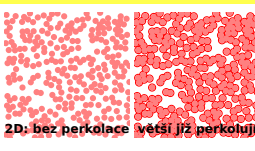
někdy se reverzibilita vztahuje k procesu sol  $\rightleftharpoons$  gel

**Vznik gelů:**

- želatinizaci (gelatinizaci) roztoků makromolekul:
  - zemní chemickou vazbou
  - asociace (vdW, vodíkové vazby)
  - krystalické styčné body
  - geometrické sítování (propletení, entanglement)

- destabilizaci (obv. lyofobních) solů se zesítěním (ne koagulací)

želatinizace pokračuje stárnutím gelu  
synrese = vypuzování kapaliny (jogurt)



## Gely

26/30  
AB24

### Mechanické vlastnosti gelů:

- elasticita (málo kovalentních spojů)

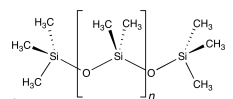
- tixotropie (reverzibilní slabé spoje)

### Hydrogely:

- kontaktní čočky (polyakrylamidy, „silikon“ – propustný pro kyslík ↑)

- pleny (polyakrylát sodný,  $[-\text{CH}_2-\text{CH}(\text{COONa})_n]$ ) nabité řetězce se odpuzováním napřímení a tvoří dutiny

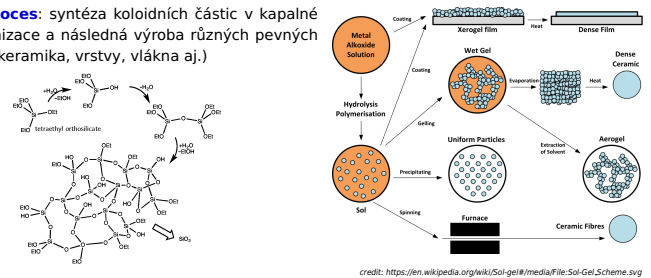
- biomateriál – implantáty (silikon), lešení pro růst tkání



## Gely

firefox https://doi.org/10.1038/s41598-021-90101-0 27/30  
AB24

**Sol-gel proces:** syntéza koloidních částic v kapalné fázi, želatinizace a následná výroba různých pevných materiálů (keramika, vrstvy, vlákna aj.)



**Aerogel** = xerogel s velmi malou hustotou (superkritické sušení), silikagel až  $1.9 \text{ g dm}^{-3}$ ; alumina; aerografit  $0.18 \text{ g dm}^{-3}$  – pevnost v tahu 1 kPa

**Použití:** izolace, adsorbent, Čerenkovův detektor

**oxid grafenu+polyvinylalkohol**  $2.1 \text{ kg m}^{-3}$ , freeze casting/drying, zvuk. izolace (PUR  $32 \text{ kg m}^{-3}$ )

## Pěny

28/30  
AB24

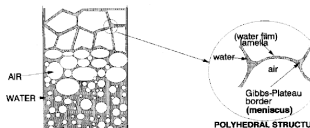
Plyn v kapalině

- vlhké pěny (kulovité bublinky)

- suché pěny (mnichosteny, 12–14)

- Plateauova pravidla (zákon)

- Gibbsovy-Plateauovy kanálky



Stabilizace povrchově aktivními látkami (pěnovná činidla): detergenty, proteiny, prášky

Zánik: vytékání kapaliny, vypařování, Ostwaldovo zrání, protřžení filmů

Suché pěny: např. pěnový polystyren

credits: http://galerie.albumfotek.cz (kravý dedek), Kim&Kim

## Aerosoly

jkv-WN pic/DustExplosion7.jpg 29/30  
AB24

Kapalný podíl: mlhy (10 nm – 10  $\mu\text{m}$ )

Pevný podíl: dým (do 10  $\mu\text{m}$ ), prach (nad 10  $\mu\text{m}$ )

### Zánik:

- sedimentace (stabilizace: sluneční záření ohřívá částice)

- koagulace (stabilizace: náboj)

**Náboj částic:** rozprašování (tryska, moře), ionizace krátkovlnným zářením, rozmělňování iontových krystalů

Aerosol hořlavých částic může vybuchnout: mouka, uhlíkový prach, termobarikék (FAE, fuel air explosive) zbraně.



### Typy šíření plamenů:

- difuzní plamen – složky se mísí difuzí (svíčka)

- deflagrace – složky jsou smíšeny, šíření tepelnou vodivostí (plynový kotél)

- detonace – složky jsou smíšeny, zapáleno rázovou vlnou

credit: Dust explosion by Hans-Peter Schütz – Own work, CC BY-SA 3.0, https://commons.wikimedia.org/w/index.php?curid=23589316

## Atmosférické aerosoly

30/30  
AB24

### troposféra

- mraky

kap(íč)ky obv. obsahují nukleační jádra (často soli jako  $(\text{NH}_4)_2\text{SO}_4$ ) polarizovatelné anionty se shromažďují na povrchu kapiček

- pevné aerosoly

nejstabilnější jsou částice  $\approx 300 \text{ nm}$ :

- menší částice rychle difundují a adsorbují se

- větší sedimentují

menší než cca  $10 \mu\text{m}$  (PM10, míní se aerodynamický průměr) se nezachytí v nose, dostávají se až do plicních slípků a (menší) se mohou dostat až do krve

- smog (< smoke and fog):

- Londýnského typu (kouř, mlha,  $\text{SO}_2$ ), redukční; vog = volcanic smog

- fotochemický smog (L.A.):  $\text{NO}_2 + \text{VOC} + h\nu \rightarrow \text{O}_3 + \dots$ , oxidační

### stratosféra

- saze (vznášejí se vlivem ohřevu slunečním zářením)

- sopečný popel,  $\text{SO}_2 \rightarrow \text{SO}_4^{2-} \rightarrow$  ochlazení

nukleární zima (saze), vulkanická zima (popel,  $\text{SO}_x$ )